

垂直磁化型磁壁移動メモリ用磁性細線の磁壁電流駆動観察

ルネサス エレクトロニクス株式会社
デバイス・解析技術統括部
メモリ混載デバイス開発部

谷川 博信

2013/03/11
先端磁性材料研究会(第6回)

共同研究者

ルネサスエレクトロニクス：
大嶋則和

SPring-8：
大河内拓雄、小嗣真人、木下豊彦

京都大学：
小山知弘、吉村瑠子、千葉大地、小野輝男

<謝辞>

本研究は2009B, 2010A期重点産業利用課題および2011A, 2011B,
2012A, 2012B期重点グリーン／ライフ・イノベーション推進課題で実施さ
れました。

outline

■ MRAM開発

- ◆ MRAMの特徴
- ◆ 電流による磁化制御
- ◆ 磁壁移動型MRAM

■ 磁壁電流駆動現象

- ◆ 磁壁電流駆動現象の説明
- ◆ 低電流化を目的とした材料探索
- ◆ 垂直磁化材料Co/Niの実験結果

■ 放射光による磁壁移動観察

- ◆ Co/Ni素子: ex-situ 実験
- ◆ Co/Ni素子: in-situ 実験
- ◆ CoFeB素子: ex-situ 実験
- ◆ 現状の課題と今後の展開

■ まとめ

outline

■ MRAM開発

- ◆ MRAMの特徴
- ◆ 電流による磁化制御
- ◆ 磁壁移動型MRAM

■ 磁壁電流駆動現象

- ◆ 磁壁電流駆動現象の説明
- ◆ 低電流化を目的とした材料探索
- ◆ 垂直磁化材料Co/Niの実験結果

■ 放射光による磁壁移動観察

- ◆ Co/Ni素子: ex-situ 実験
- ◆ Co/Ni素子: in-situ 実験
- ◆ CoFeB素子: ex-situ 実験
- ◆ 現状の課題と今後の展開

■ まとめ

MRAMの基本的な特徴

MRAM: Magnetoresistive Random Access Memory

磁化の方向を記録情報とし、磁気抵抗効果で読み出すメモリ

- 不揮発 (non-volatile)
磁化方向は維持される → 電力OFFしてもデータが残る。
- 高速動作 (high speed operation)
磁化反転は ナノ秒オーダ で起こる高速現象。100MHz～GHzの動作
- 繰り返し耐性 (endurance)
磁化方向を何度も変えても劣化しない。
- 低消費電力 (low power)
記録パルスが短いので電力としては小さい。データ保持のためのリフレッシュ不要

⇒素子の微細化に伴い、書き込み技術が磁場書き込みから電流書き込みへ

電流による情報書き込み

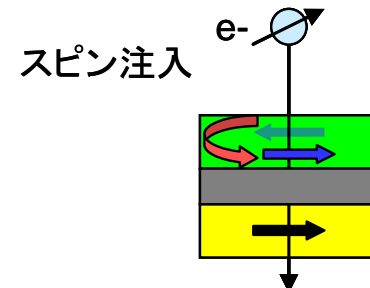
✓ スピン注入磁化反転

磁性体に電流を通じ、電子スピノンとの相互作用で磁化回転

素子微細化で記録電流低減

→ 高密度化に有利

Spin-RAMとして各所で開発が進み、実用化に目途



✓ 磁壁電流駆動

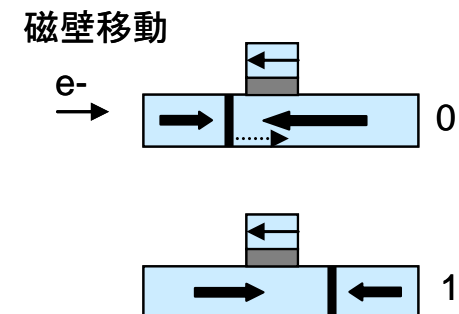
微小磁性体内の磁壁を行き来させることで磁化を反転

素子が小さいほど記録電流が低減し、反転時間短縮

→ 微細化、高速化に有利

磁壁移動型メモリとしてNEC/Renesasで研究開発

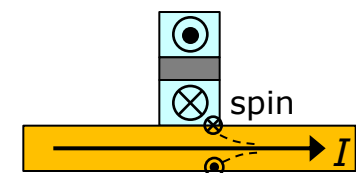
磁化反転の決定因子: 電流密度 → 微細ほど低電流



✓ スピンホールトルク [L. Liu et. al., Science 336, 555 (2012)]

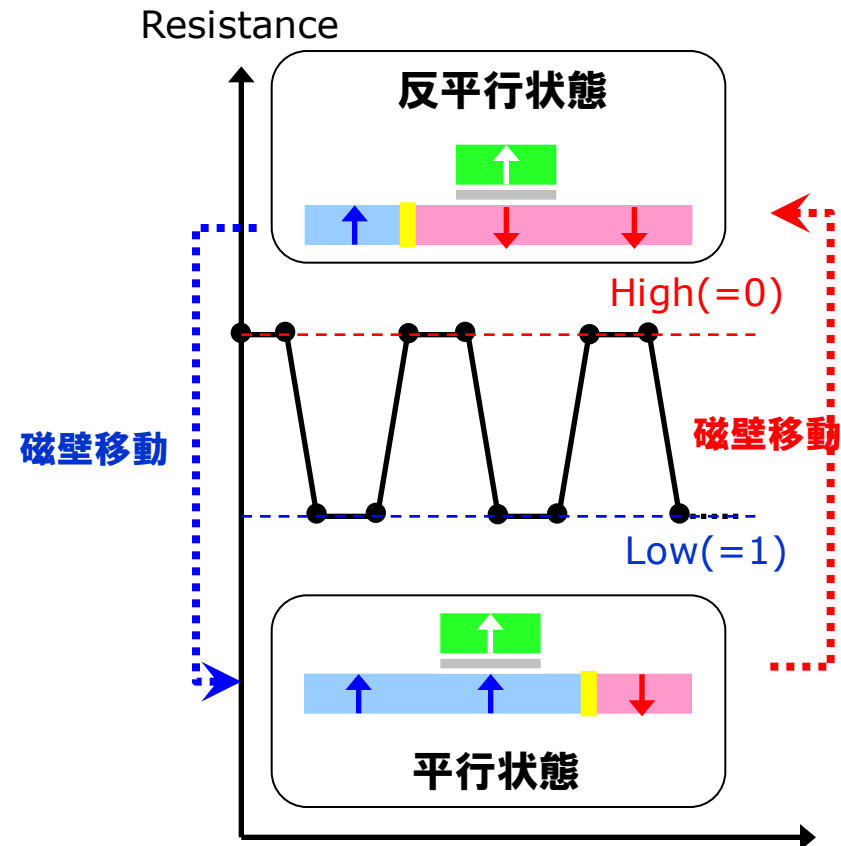
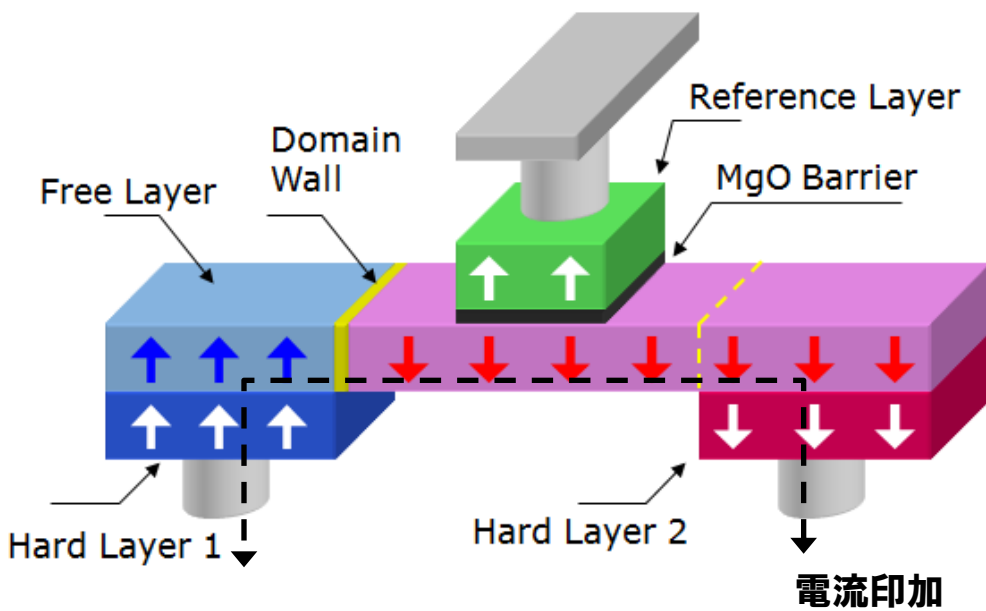
非磁性体からのスピンホールトルクによって磁化反転

将来的に3端子素子に応用可能



磁壁移動型MRAM素子

磁壁電流駆動による磁化反転方式で実現され得る素子構造：3端子素子



電流による磁壁動作によって磁化の制御を行い、MTJの高/低抵抗状態を実現することで、メモリ動作が可能となる。

outline

■ MRAM開発

- ◆ MRAMの特徴
- ◆ 電流による磁化制御
- ◆ 磁壁移動型MRAM

■ 磁壁電流駆動現象

- ◆ 磁壁電流駆動現象の説明
- ◆ 低電流化を目的とした材料探索
- ◆ 垂直磁化材料Co/Niの実験結果

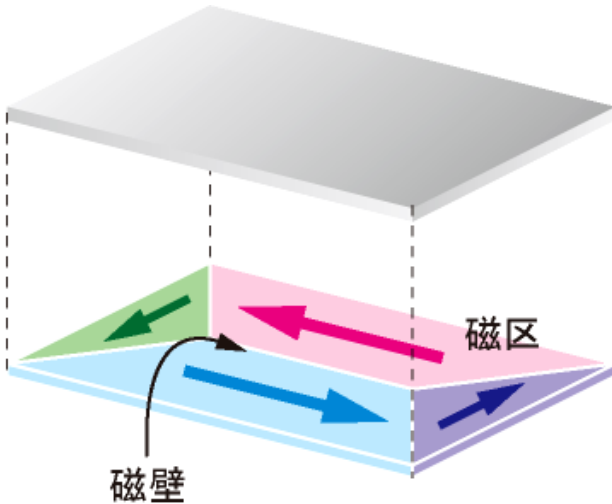
■ 放射光による磁壁移動観察

- ◆ Co/Ni素子: ex-situ 実験
- ◆ Co/Ni素子: in-situ 実験
- ◆ CoFeB素子: ex-situ 実験
- ◆ 現状の課題と今後の展開

■ まとめ

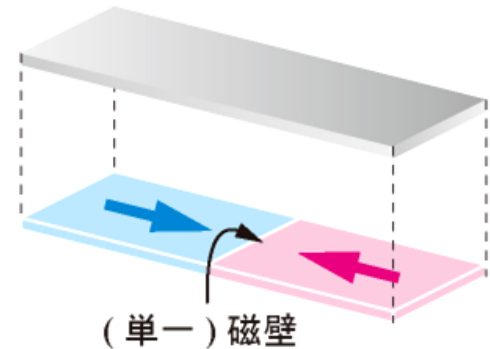
磁性細線中の単一磁壁

強磁性薄膜(>数10 μm)



強磁性細線(幅~数100 nm)

微細化
→



▼薄膜を磁区幅以下に微細加工することによって、单一磁壁の導入が可能。

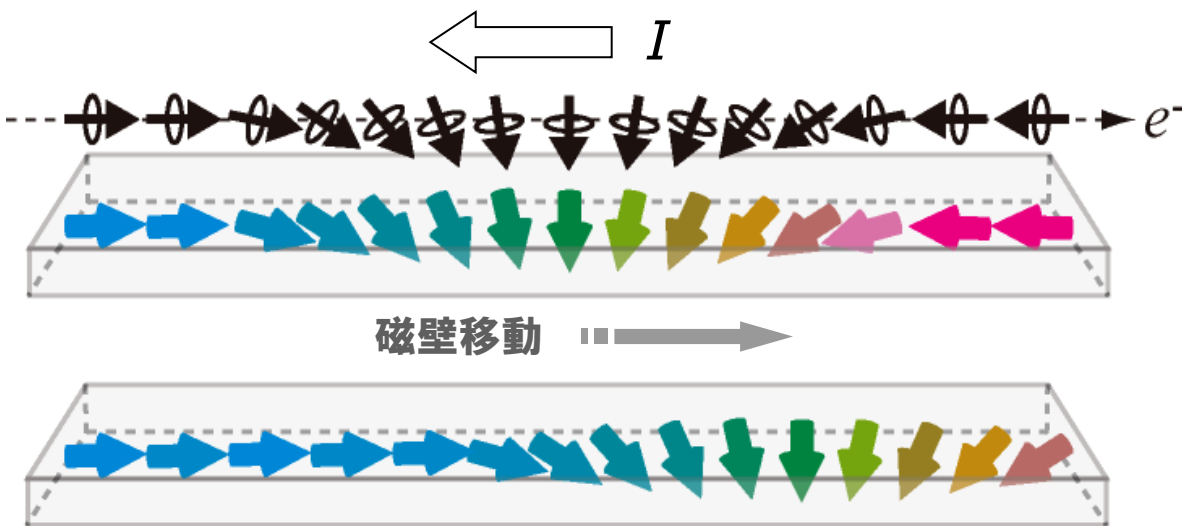
磁壁…磁区と磁区との境界で、磁化方向が連続的に変化している領域。



単一磁壁の電流駆動現象

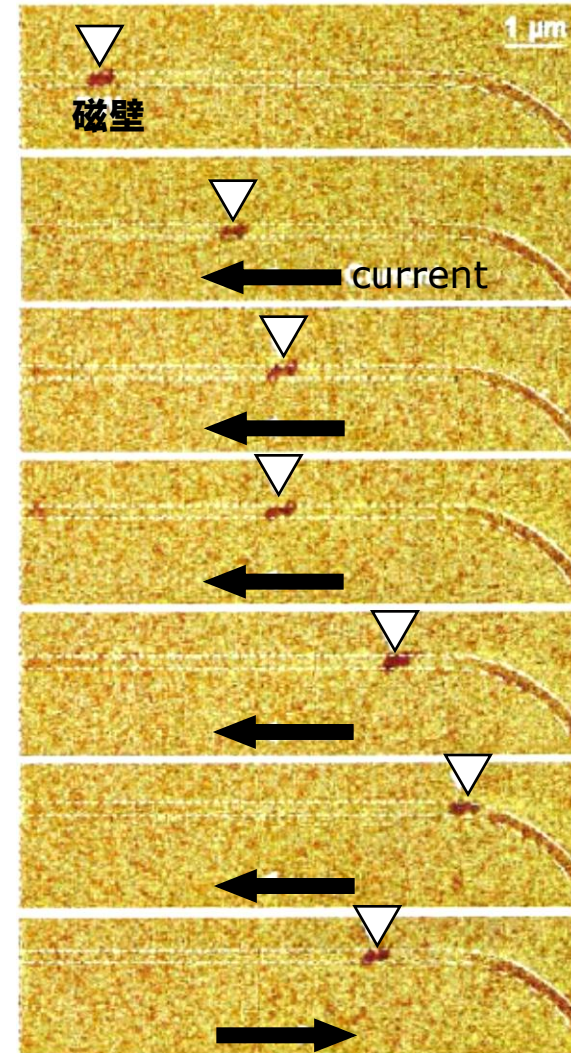
強磁性体に電流を印加すると、電子が磁壁を通り抜ける前後で、角運動量が変化する。角運動量保存則から、スピンに角運動量が受け渡されて磁壁を移動させる力(=スピントルク)になり、電流と逆方向に磁壁が移動する。

⇒スピントransファー効果



▼磁壁移動型MRAMの書き込み技術に応用可能。

▼MFMによる磁壁移動の直接観察



A.Yamaguchi, et. al., Phys. Rev. Lett. **92**, 077205 (2004).

磁壁電流駆動のメカニズム

スピントルクを含むLandau-Lifshitz-Gilbert (LLG)運動方程式

$$\frac{dm}{dt} = -|\gamma|m \times H_{eff} + \alpha m \times \frac{dm}{dt} - \frac{g\mu_B J P}{2eM_S} \frac{\partial m}{\partial y}$$

磁化の運動

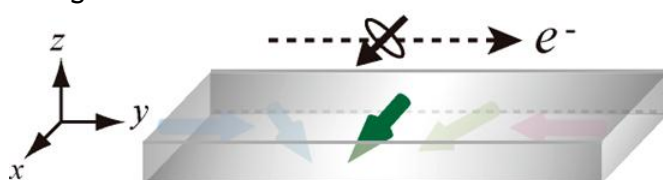
反磁界項 τ_k

ダンピング τ_d

スピントルク τ_s

g : ジャイロ磁気定数
 α : Gilbert damping
 J : 電流密度
 P : 分極率

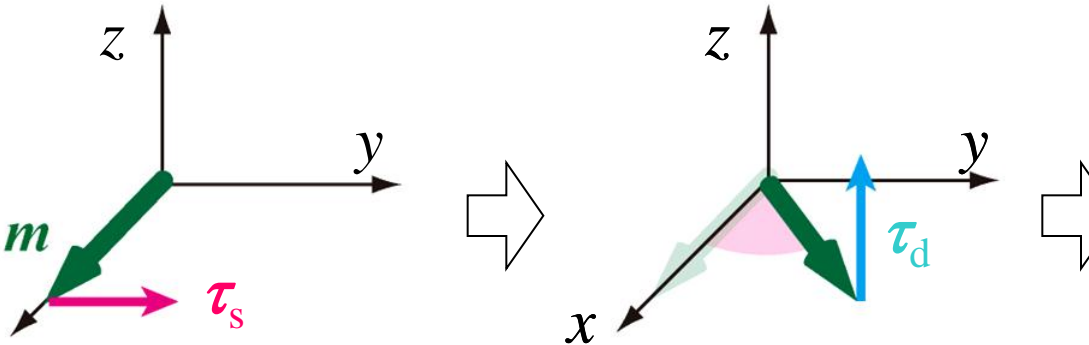
τ_s により磁壁内部の磁化が傾く



ダンピング(τ_d)によりz方向に
磁化が生じる



τ_k と τ_s が釣り合うと、磁壁
が移動できない



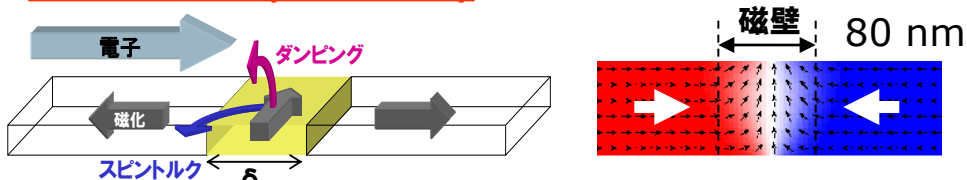
▼磁壁移動のためには、反磁界の限界値($H_K^{MAX} \rightarrow \tau_k$)に打ち勝つスピントルクが必要

⇒しきい電流密度 J_{th} が存在する

磁壁移動メモリの材料検討

▼面内磁化と垂直磁化の比較

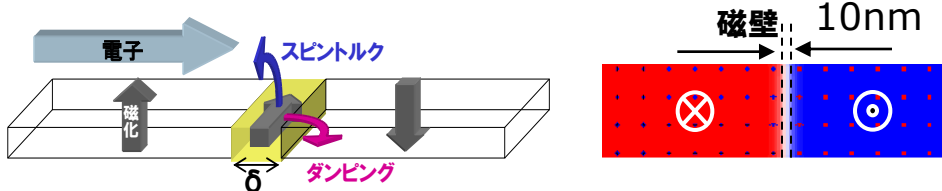
面内磁化 (NiFeなど)



スピントルクの磁壁駆動効率：低い

→ 低電流駆動に不利

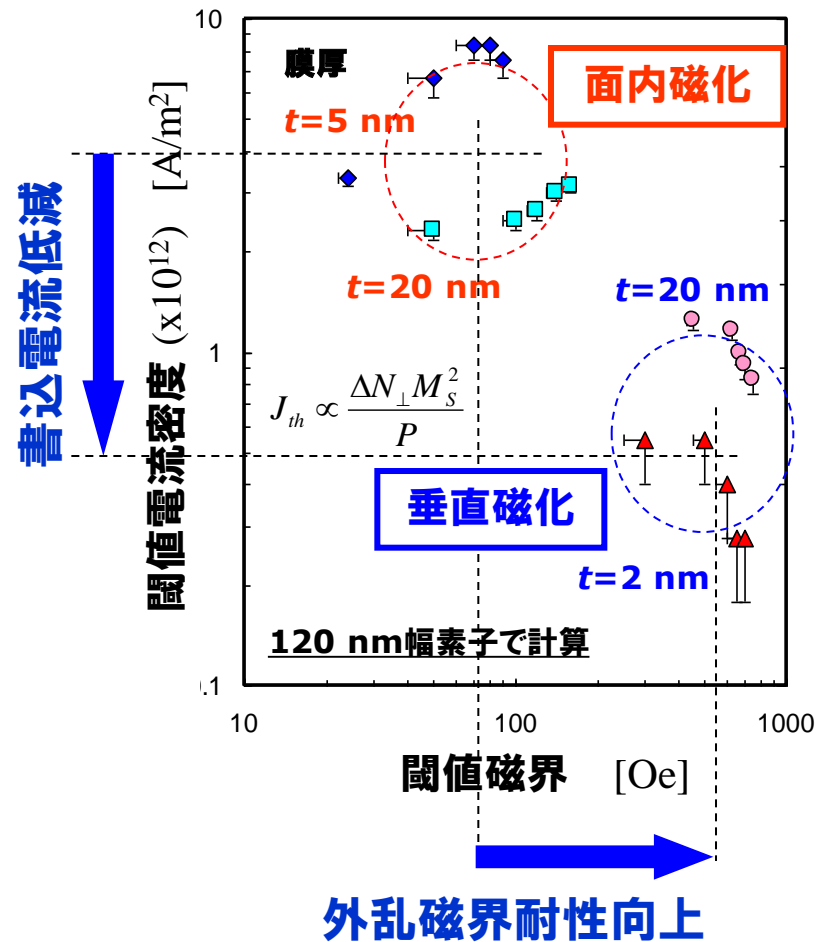
垂直磁化 (Co/Pt, CoPt, Co/Niなど)



スピントルクの磁壁駆動効率：高い

→ 低電流駆動に有利

▼計算結果からの比較



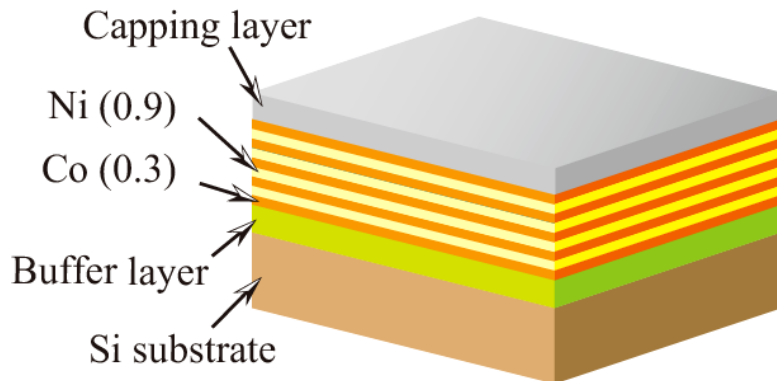
外乱磁界耐性向上

垂直磁化型は面内磁化型に対し、

- ・書込み電流低減
- ・外乱磁界安定性向上

垂直磁化Co/Ni積層膜の磁気特性

膜構成 : Ta(3)/Pt(1.5)/Co(0.3)/[Ni(0.9)/Co(0.3)]_{N=4}/Pt(1.5)/Ta(3)/Si Substrate



<連続膜の諸特性>

▼保磁力 $H_C = 100$ Oe

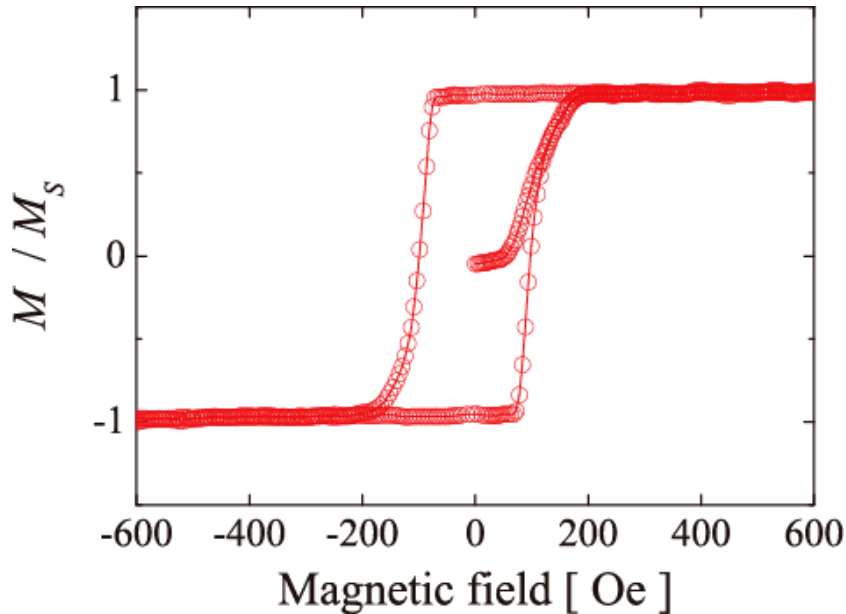
▼飽和磁化 $M_S = 6.8 \times 10^5$ A/m

▼一軸異方性定数 $K_u = 3.8 \times 10^5$ J/m³

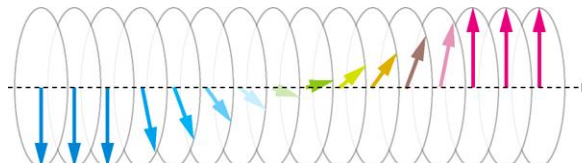
▼異方性磁界 $H_S \sim 2500$ Oe

磁壁幅 $\Delta = \pi \sqrt{A/K_u} = 16$ nm

▼基板垂直方向の磁化測定



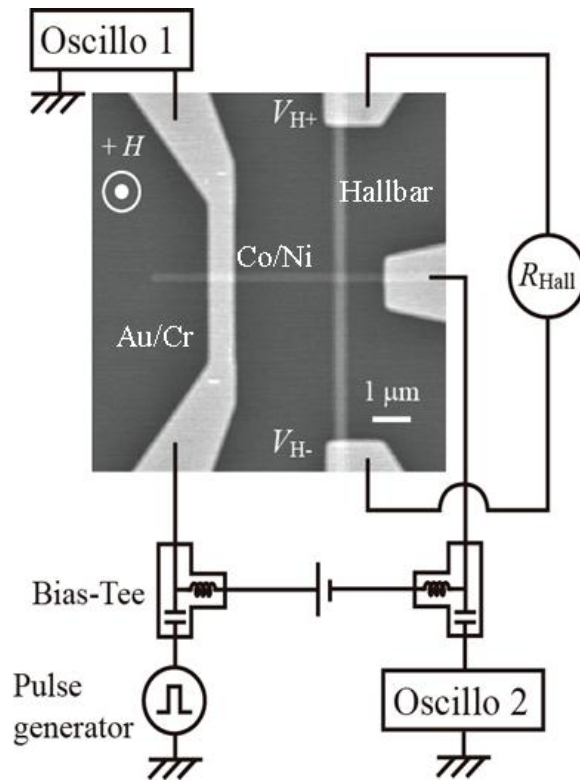
▼磁壁構造 : Bloch 磁壁*



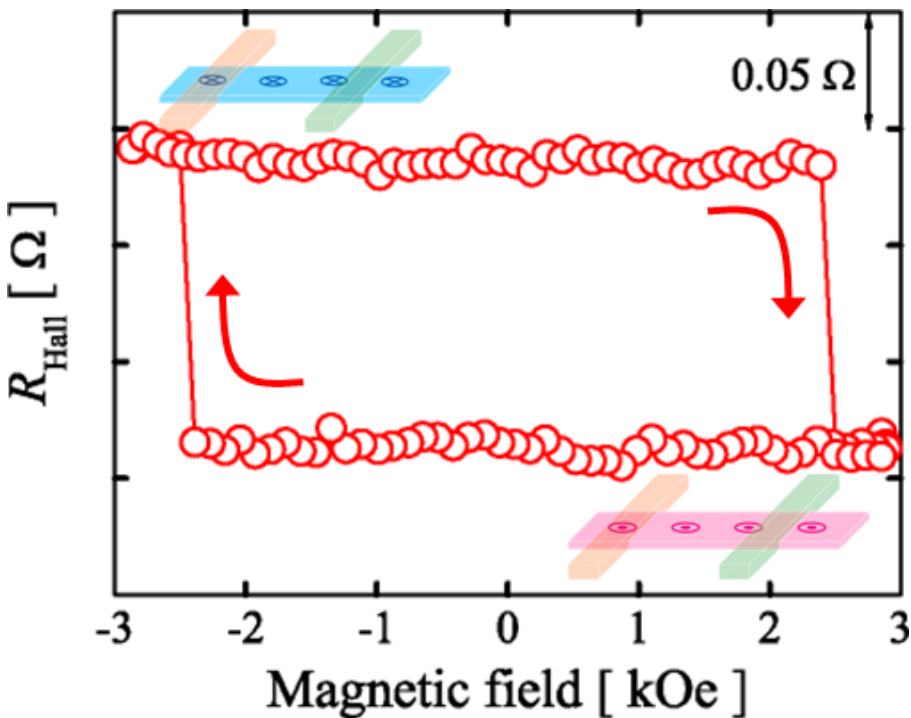
* A. D. Kent, et. al., J. Phys.: Condens. Matter. **13**, R461 (2001).

磁壁電流駆動測定の素子

H. Tanigawa, et. al., Appl. Phys. Express **2**, 053002 (2009).



▼Hall抵抗測定

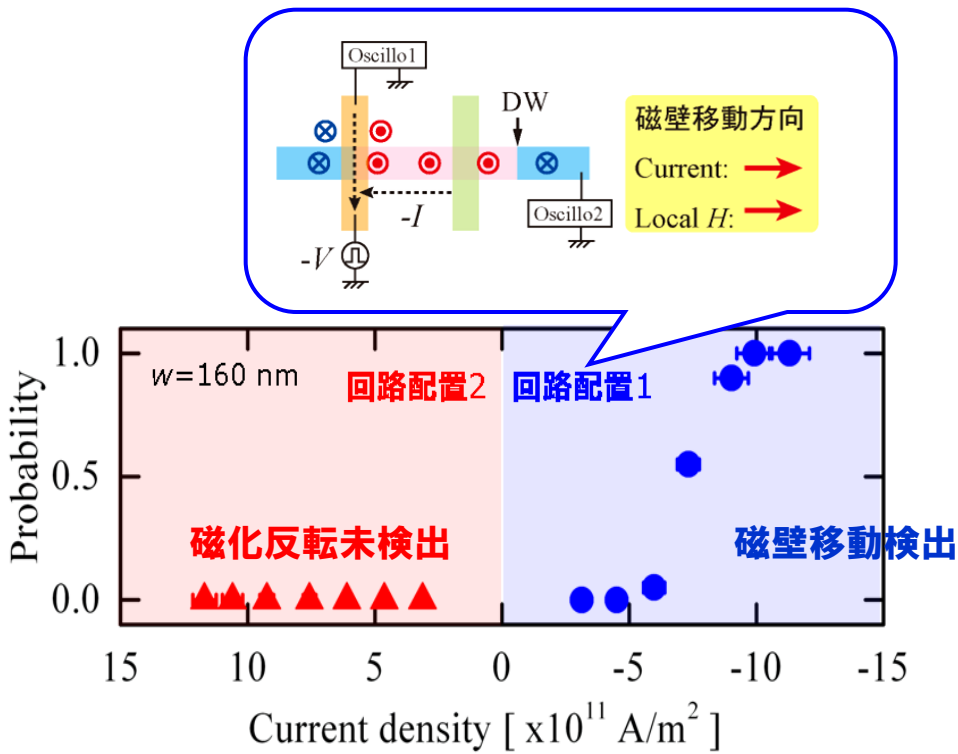


▼局所磁場による磁壁導入

▼異常Hall効果による電気的な磁壁移動検出

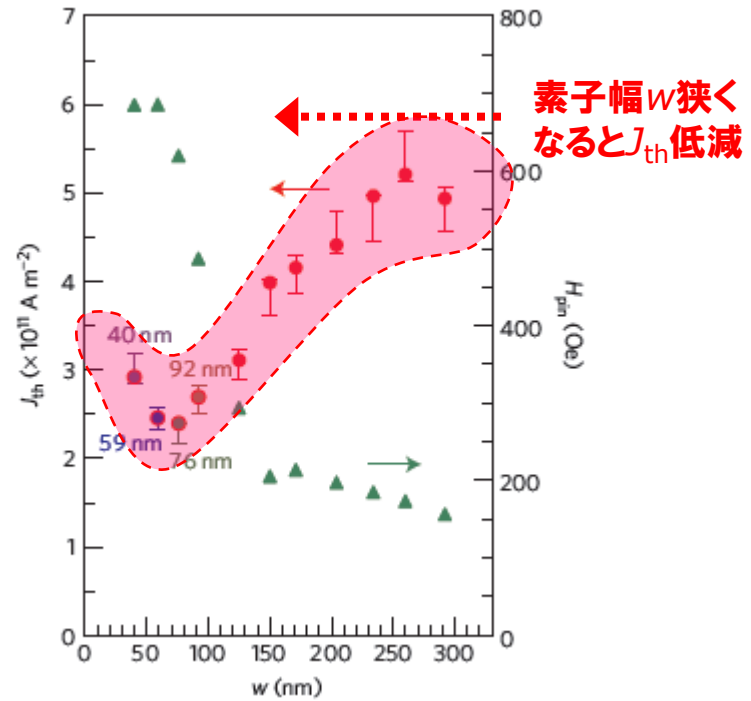
Co/Ni細線中の磁壁電流駆動

▼磁壁移動の電流方向依存性



▼しきい電流密度の素子幅依存性

T. Koyama, et. al., Nature mat. **10**, 194 (2011).



▼電流方向と逆方向に磁壁移動 ⇒ スピントランスマートルクによる磁壁電流駆動。

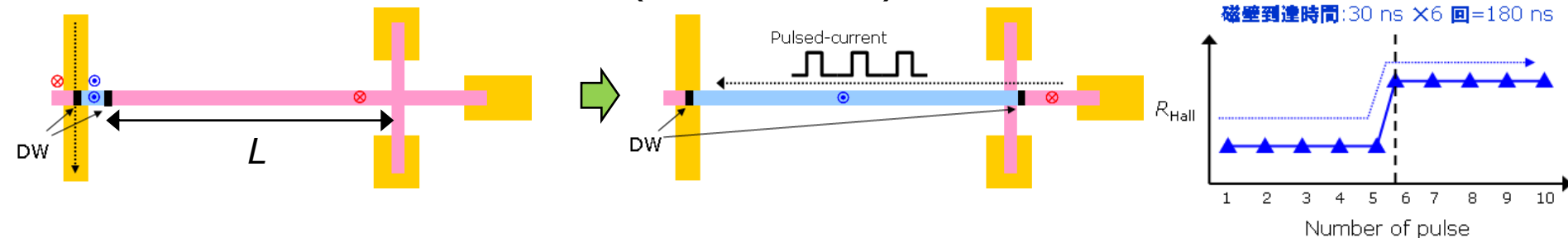
▼素子幅が細いほど低電流密度で磁壁移動。

垂直磁化材料を用いて、しきい電流密度を低減できることを実証

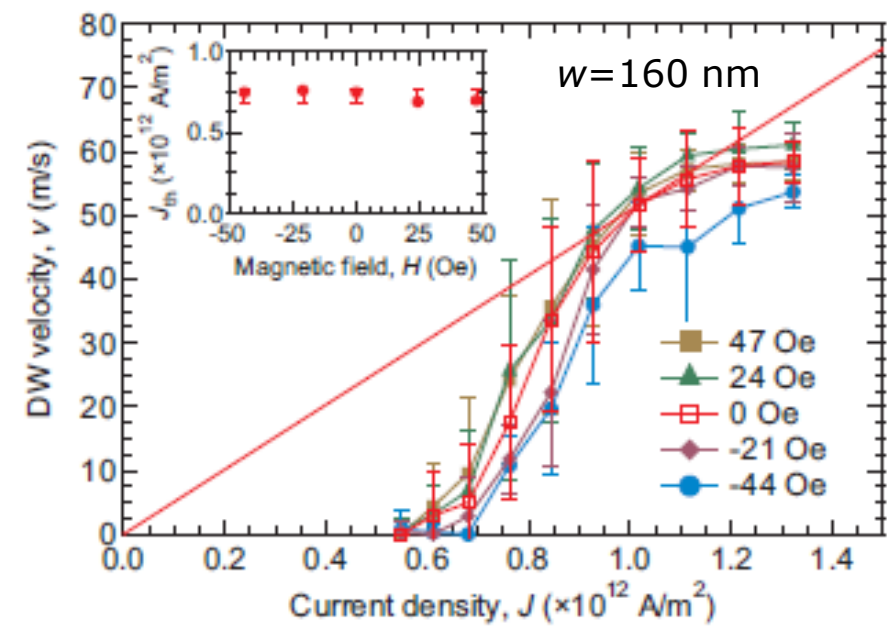
Co/Ni細線中磁壁の移動速度測定

▼磁壁移動速度を電気的検出によって測定。

▼磁壁速度 \approx Co/Ni細線の長さ L \div (パルス幅 \times 回数)



▼磁壁移動速度の電流密度依存性



▼磁壁速度は電流密度の増加とともに速くなる。

▼磁壁速度は 50 m/s @ $\sim 1 \times 10^{12} \text{ A/m}^2$

⇒電気的検出によって磁壁速度を測定

★速度のはらつきは？

★移動した磁壁の形状は？

⇒直接的な磁区観察が必要。

T. Koyama, et. al., Appl. Phys. Lett. **98**, 192509 (2011).

outline

■ MRAM開発

- ◆ MRAMの特徴
- ◆ 電流による磁化制御
- ◆ 磁壁移動型MRAM

■ 磁壁電流駆動現象

- ◆ 磁壁電流駆動現象の説明
- ◆ 低電流化を目的とした材料探索
- ◆ 垂直磁化材料Co/Niの実験結果

■ 放射光による磁壁移動観察

- ◆ Co/Ni素子: ex-situ 実験
- ◆ Co/Ni素子: in-situ 実験
- ◆ CoFeB素子: ex-situ 実験
- ◆ 現状の課題と今後の展開

■ まとめ

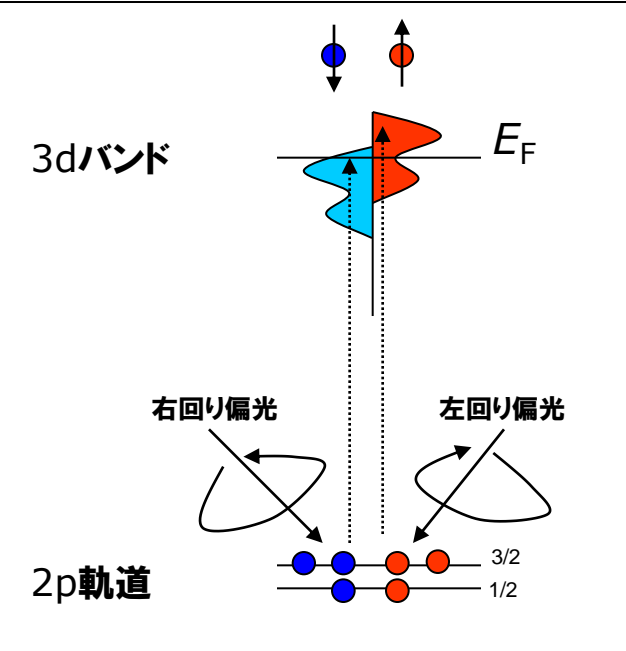
代表的な磁区観察手法

観察手法	測定原理	空間分解能	利点	欠点・課題
SMOKE	偏光角の変化	~150 nm	簡便 非接触	分解能向上
XMCD-PEEM	磁気円二色性	20-100 nm	元素選択性	表面敏感 放射光必要
MFM	探針と試料に働く磁気力	10-20 nm	簡便 高分解能	試料の磁化状態破壊 の可能性 スキャン遅い
Spin-SEM	表面磁化による2次電子の軌道変化	5-20 nm	高分解能	表面清浄性必要 スキャン遅い
Lorentz TEM	磁化による電子の軌道変化	<10 nm	高分解能 磁束分布測定可	試料薄片化が必要

100 nm幅程度の素子の磁化状態を乱さずに観察するには、XMCD-PEEMが適している。

放射光による磁区観察の原理

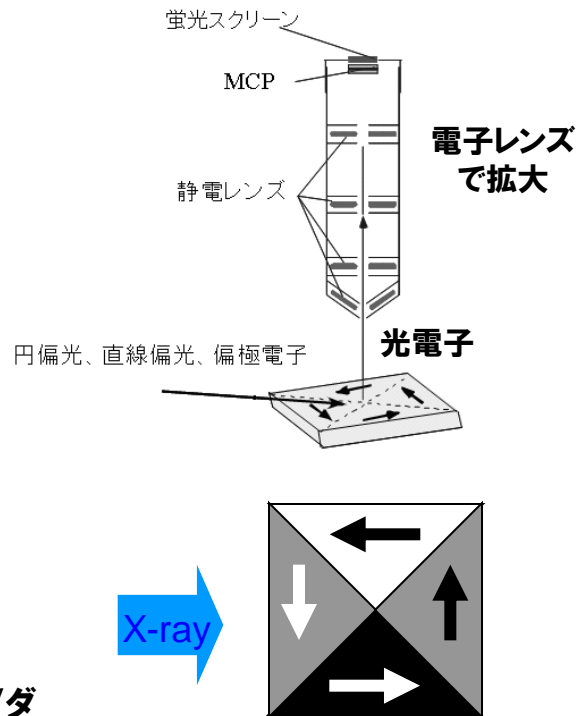
▼XMCD X線磁気円二色性



円偏光の右回り／左回り、スピンのアップ／ダウンドで電子の遷移確率が異なる。

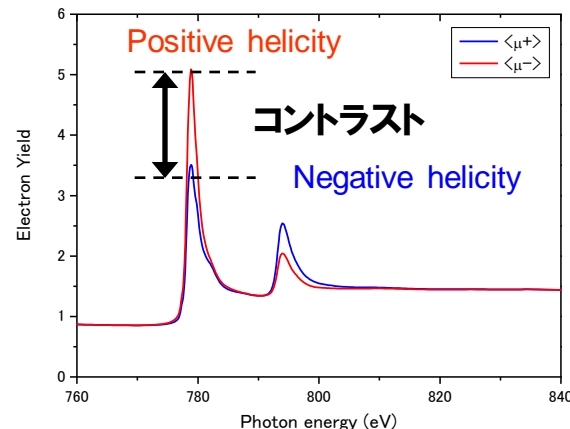
偏光の回る向きを反転させて光電子強度の差をとれば、X線入射方向と磁化方向の違いでコントラストがつく。

▼装置の概念図



磁化配置(磁区)が見える

▼光電子スペクトル



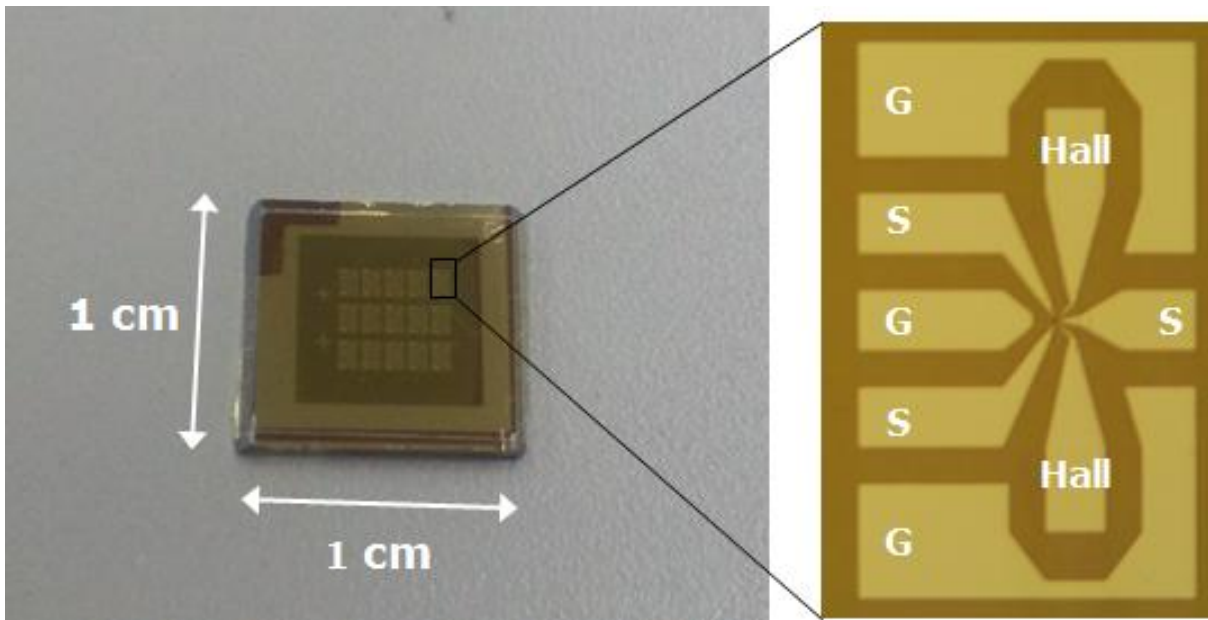
試料への磁場の影響
がなく、高分解能な磁区観察が可能

BL17SU :SPELEEM
BL25SU :PEEM

観察試料の概要 (ex-situ)

試料

- ▼磁性膜: Pt(1.6 nm)/[Co(0.3)/Ni(0.9)]₄/Co(0.3)/Pt(1.6)/Ta(3)/Si sub.
- ▼細線パターン: 1×1 cm²の基板に計15個のHall素子(同軸ライン構成)を形成
- ▼細線端部に磁壁導入/電流注入用電極(Ta/Au:線幅500 nm)とpad & Hall素子用Ta細線
- ▼光学顕微鏡観察

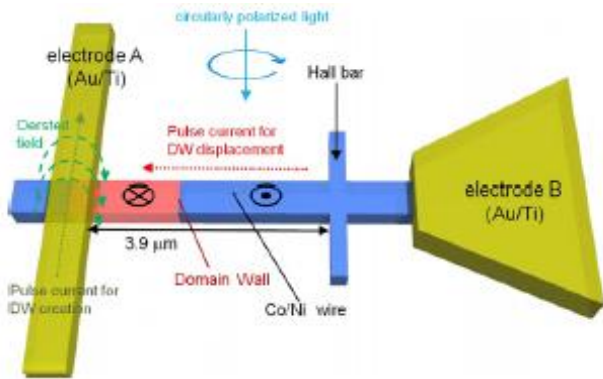


- ▼観察装置外で磁壁導入(+電流駆動)
- ▼同形状の素子を多数個観察

SPELEEMによるCo/Niの磁壁移動観察

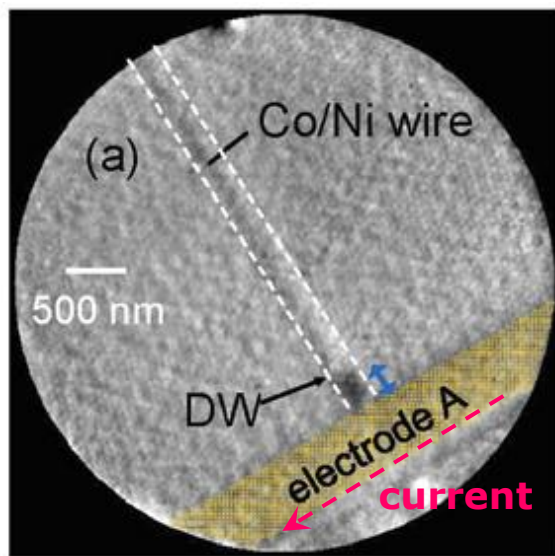
▼BL17SU SPELEEMによる観察

→ 予めパルス電流を印加した素子・印加していない素子を用意し、磁壁位置の比較を行う。

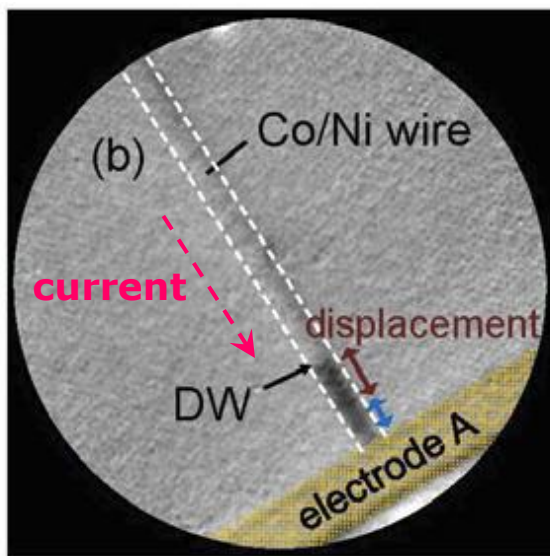


N. Ohshima, et. al., J. Phys.: Condense Matter **23**, 382202 (2011).

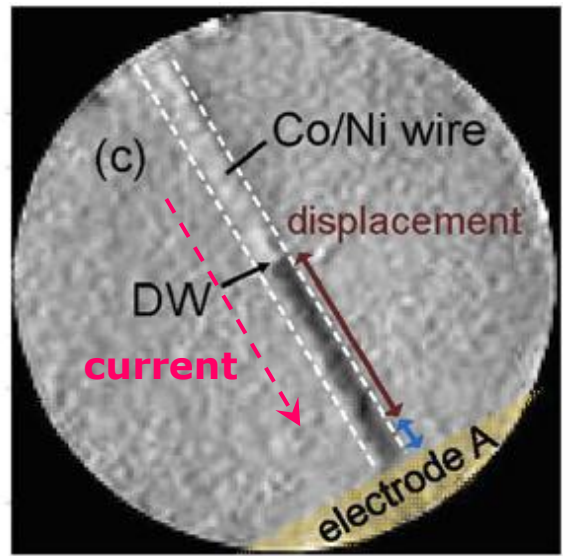
▼磁壁導入のみ



▼10 ns × 1 pulse



▼10 ns × 3 pulse

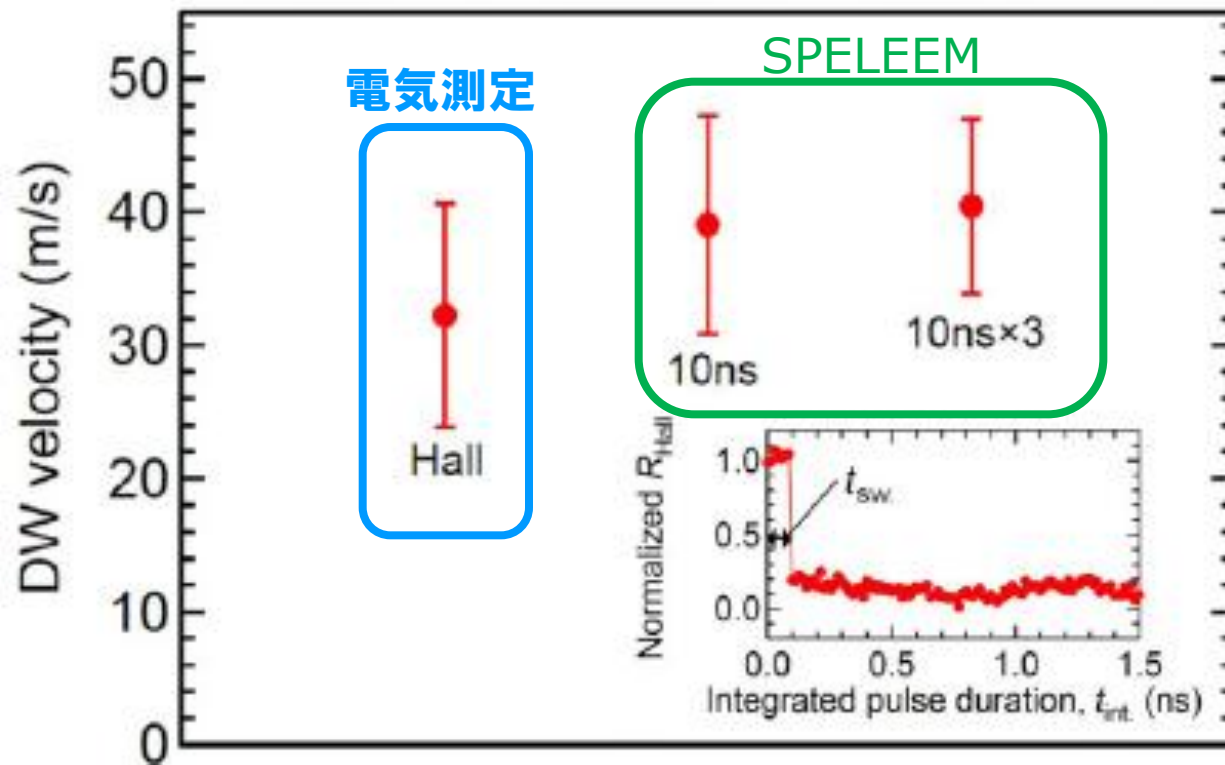


▼パルス電流印加($2.5 \times 10^{12} \text{ A/m}^2$, 10 ns)に伴う磁壁移動を観察

▼パルス電流印加後の磁壁形状は、細線長手方向に垂直

電気測定との整合性

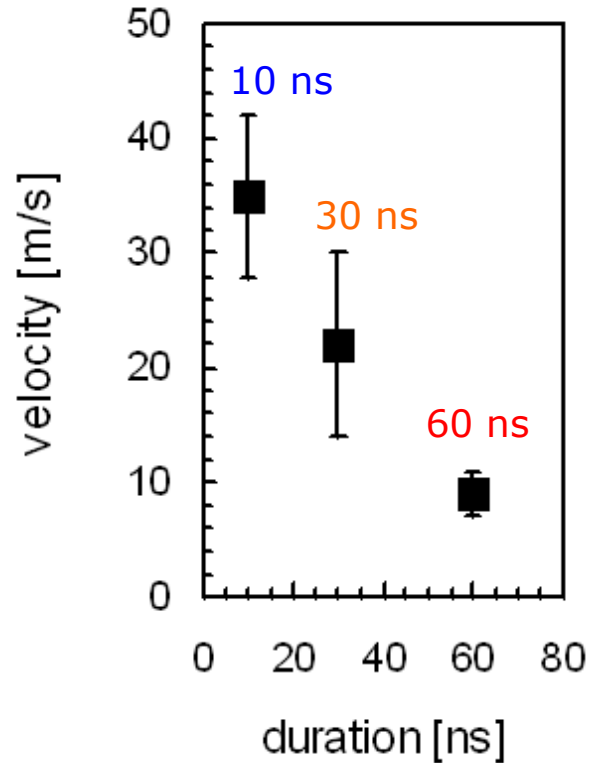
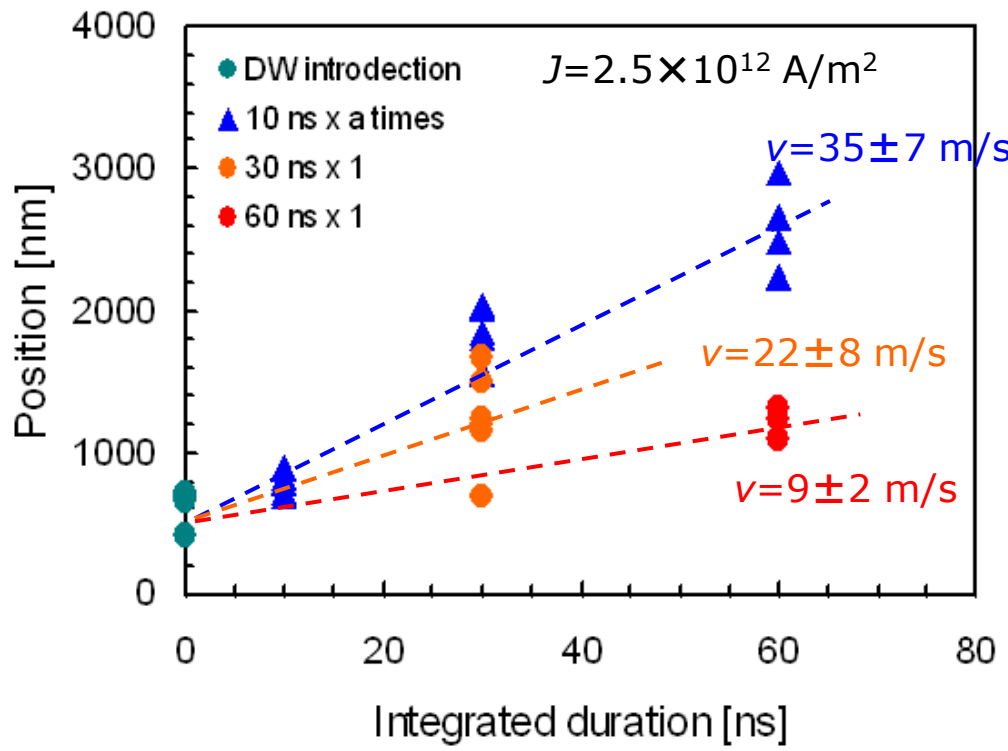
- ▼ $w=150\text{ nm}$ 素子で Hall 測定 & SPELEEM 観察結果を比較
- ▼ $J=2.5\times 10^{12}\text{ A/m}^2$, duration = 10 ns



電気測定とSPELEEM測定での速度は良い一致を示した。

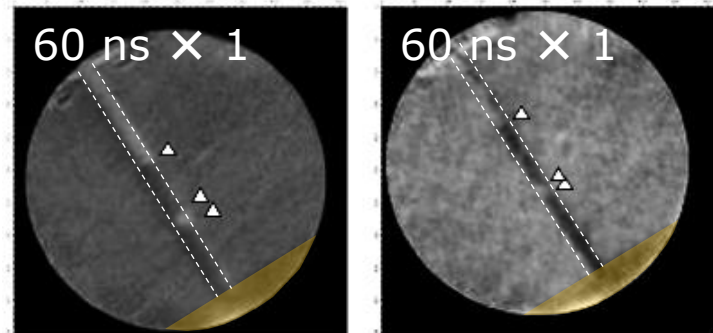
N. Ohshima, et. al., J. Phys.: Condense Matter **23**, 382202 (2011).

印加パルス幅と磁壁移動距離の関係



- ▼パルス幅が長いほうが速度が遅い傾向が見られた。
- ▼60 nsパルス印加後に多磁区化現象も観察された。

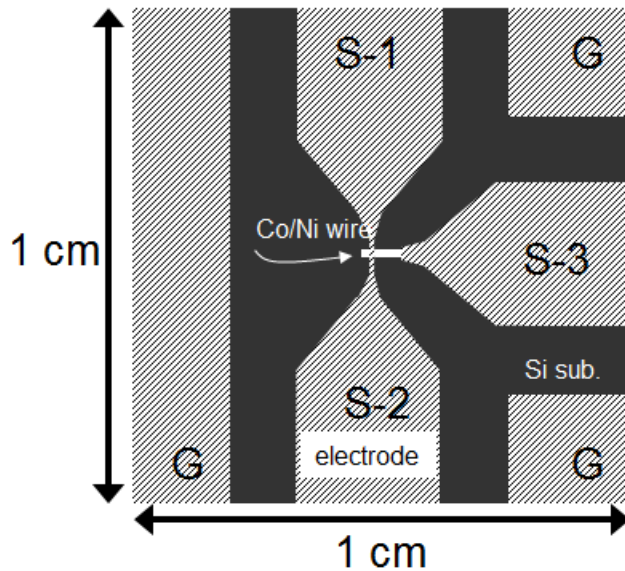
⇒素子温度上昇によるスピニ分極率の低下が原因と考えられる。



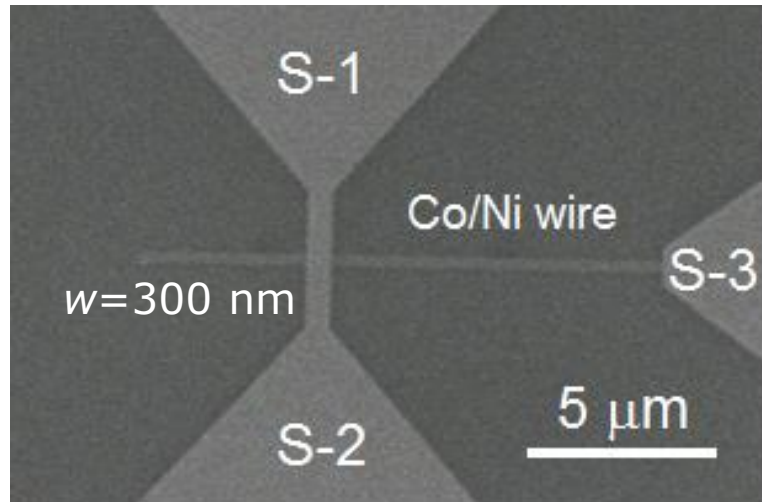
放射光による磁壁移動その場観察 (in-situ)

- ▼ 単一素子における電流印加前後の磁区観察(in-situ実験)
- ▼ SPELEEMもしくはPEEM装置内と電気的導通を取るため、150 mm以上の大パッドを付加。
- ▼ 1基板につき1素子

▼ 素子の概念図



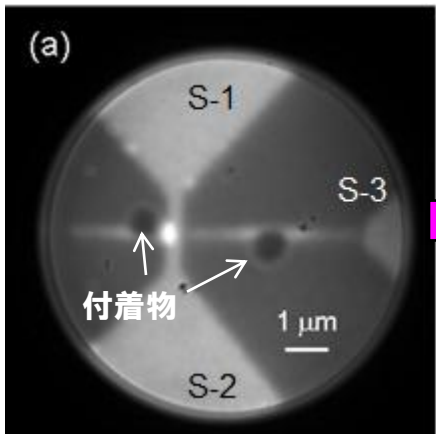
▼ Co/Ni細線部のSEM観察像



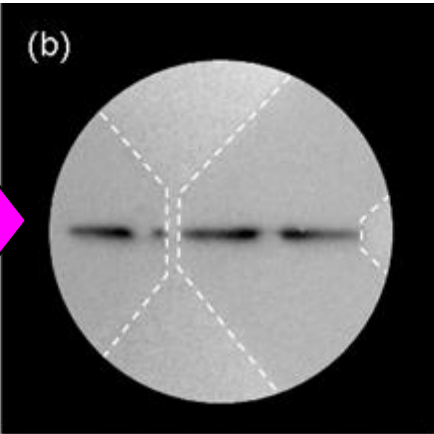
- ▼ 観察装置内で磁壁導入 + 電流駆動
- ⇒ 単一素子における磁壁速度ばらつきの定量化が目的

SPELEEMによるCo/Niの磁壁移動観察

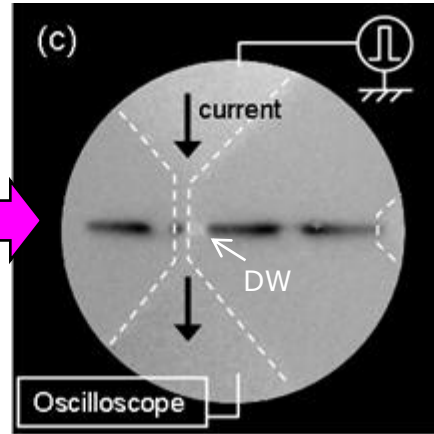
▼形状像



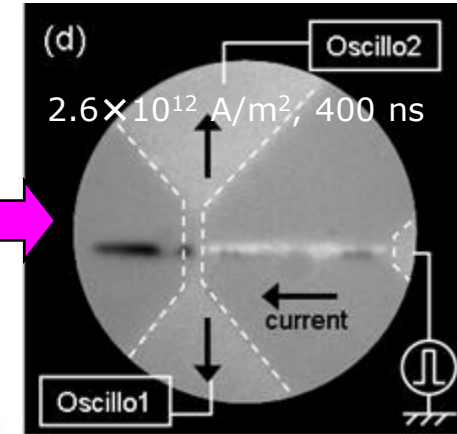
▼単磁区化



▼磁壁導入

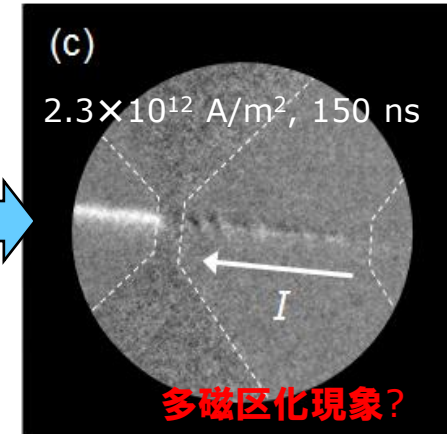
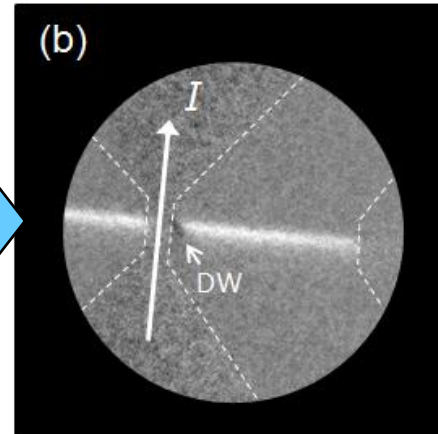
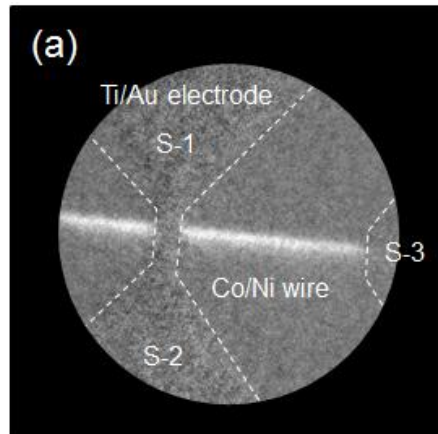


▼電流駆動後



▼電流磁場印加による磁壁導入は成功。

▼Joule熱による素子温度上昇のため、明確な磁壁電流駆動の観察像が取得できていない。

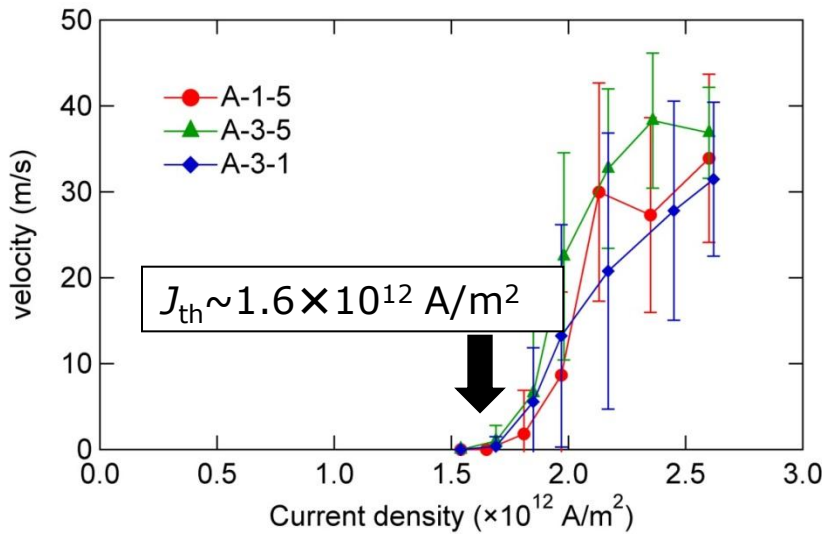


Co/Ni磁壁移動その場観察の課題

▼SPELEEM観察で用いた試料

Pt(1.6)/[Co(0.3)/Ni(0.9)]₄/Co(0.3)
/Pt(1.6)/Ta(3)/Si sub.

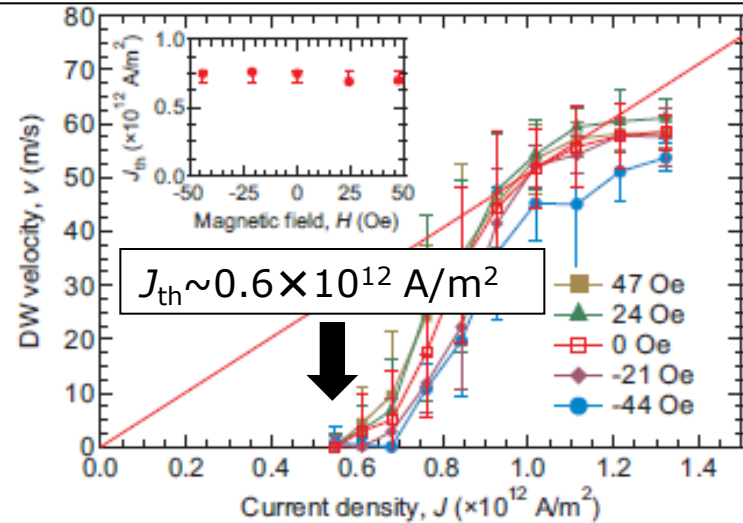
→cap-seed層が非対称



▼T. Koyama, et. al., Appl. Phys. Lett.

Ta(3)/Pt(1.5)/[Co(0.3)/Ni(0.9)]₄/Co(0.3)
/Pt(1.5)/Ta(3)/Si sub.

→cap-seed層が対称



▼cap-seed層が非対称構造だと、しきい電流密度 J_{th} が増大?[←spin Hallトルクの寄与?]

<課題>

- 放射光で磁区観察可能な磁成膜積層構成の最適化(←cap-seed層対称化など)
- より短いパルス幅が印加可能な環境を構築(←全同軸ライン化)

放射光によるCo/Ni素子の磁壁移動観察 まとめ

▼放射光を用いて垂直磁化Co/Ni膜の磁壁移動を直接観察

[ex-situ]

- ◆明瞭な磁壁移動を観察
- ◆パルス電流印加後の磁壁形状は、細線長手方向に垂直
- ◆磁壁速度は電気測定から求められた値と一致
- ◆パルス幅が長くなると磁壁速度が減少する傾向が見られた

[in-situ]

- ◆観察装置内で電流印加し、磁壁導入が行えることを確認
- ◆明瞭な電流駆動は観察されなかった。

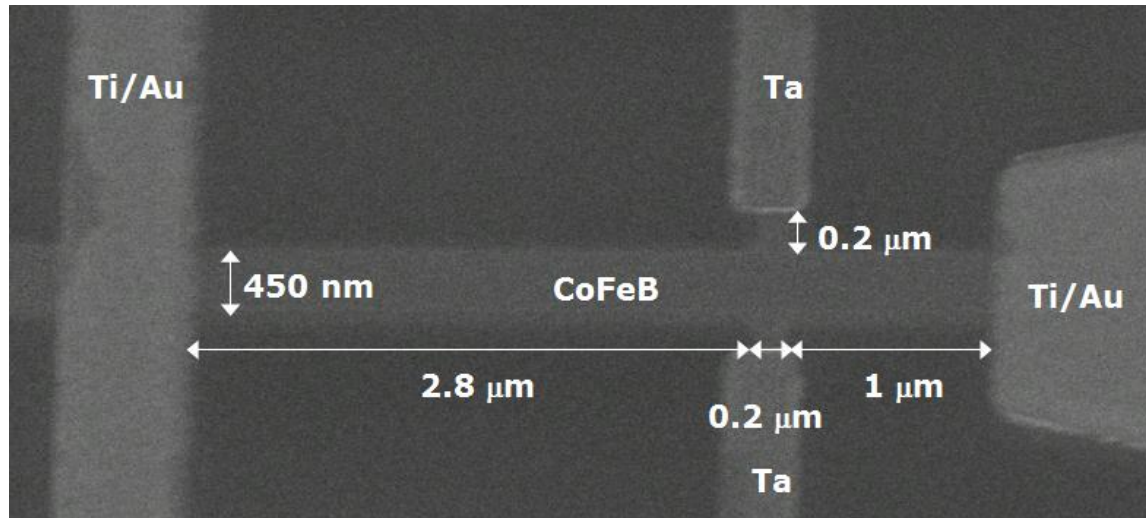
(in-situ観察での課題)

膜構成の最適化、および時短パルス印加可能な環境構築

低電流動作磁性材料: 垂直磁化CoFeB (ex-situ)

- ▼ Ta(1 nm)/MgO(1.45)/CoFeB(1)/Ta(0.7)/**SiN(~100)/SiO₂(~100)**/Si sub.
- ▼ 垂直磁化CoFeB/MgOは高MR比が実現できるため、磁壁移動型MRAM材料として最適。

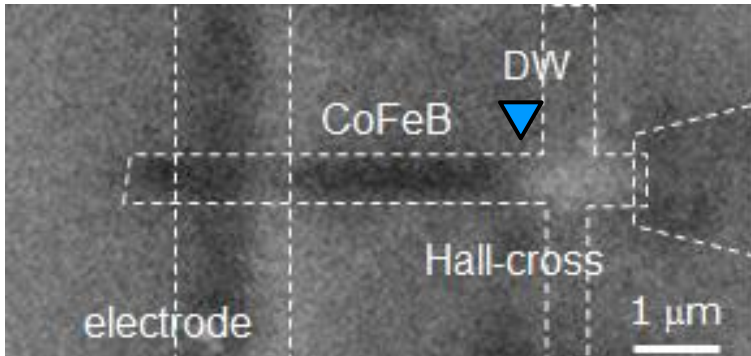
▼試料のSEM観察像



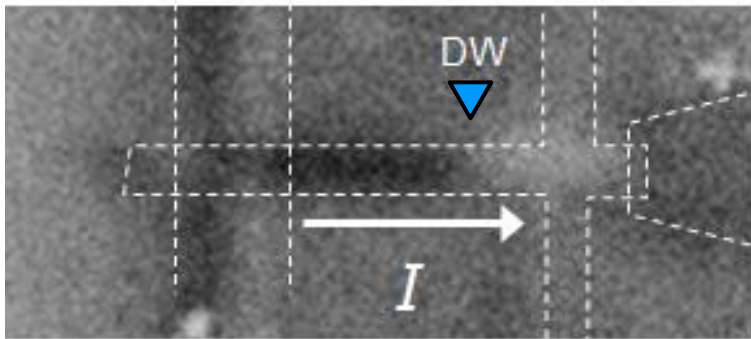
- ▼ 観察装置外で磁壁導入(+電流駆動)を実施後、XMCD-PEEMにて磁区観察

CoFeB素子の磁壁移動観察 (ex-situ)

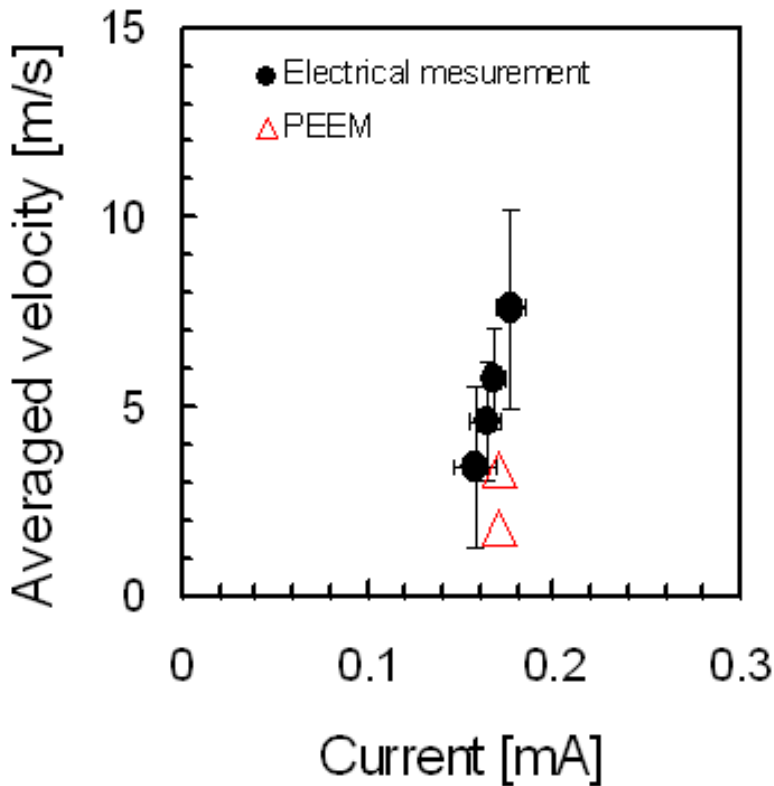
▼磁壁導入



▼電流駆動後



▼電気測定結果との比較



▼磁壁が電流と逆方向に移動していることを観察。

▼磁壁速度は 3.3 m/s @ $1.4 \times 10^{11} \text{ A/m}^2$ 。電気測定結果ともほぼ一致。

<課題>

チャージアップ防止策で基板全面にAuを数nm蒸着しているため、磁化コントラストが薄い。
⇒基板材料の最適化

今後の展開

▼磁壁移動現象のリアルタイム観察

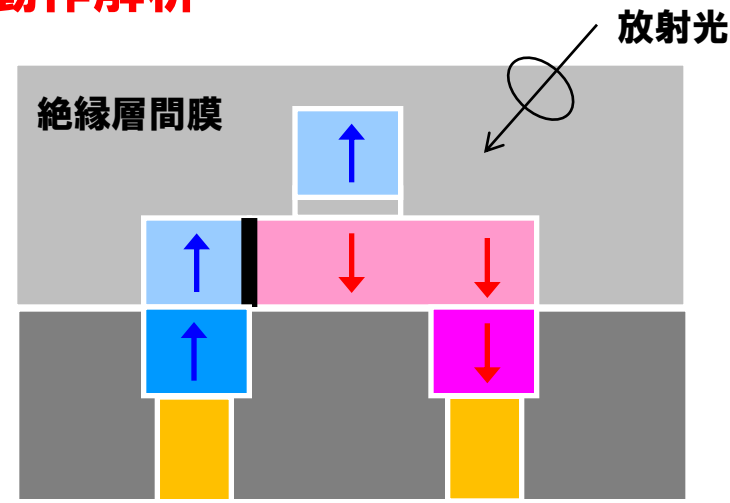
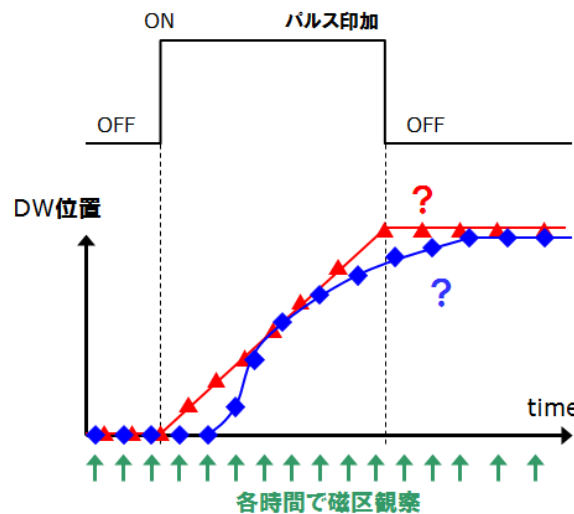
- Co/Ni in-situ実験は膜構成の最適化を行えば可能になる見込み。
- 今後CoFeB素子におけるin-situ実験に繋げたい。

⇒放射光と同期させたダイナミクス観察

▼MRAM実デバイスでの磁壁移動観察

- SPELEEM, PEEMは表面敏感な測定
- 磁性材料の上に層間膜が存在する実デバイスの磁区観察

⇒実デバイスでの動作検証、誤動作素子の動作解析



本講演のまとめ

▼MRAM

- 電流書き込み方式 [スピニ注入磁化反転、磁壁移動、スピホール]
- 磁壁移動型MRAM

▼磁壁電流駆動現象

- 材料面の検討: 垂直磁化材料
- Co/Ni細線での磁壁電流駆動
- 素子幅微小化でしきい電流密度減少

▼放射光による磁壁移動現象の観察

- Co/Ni素子のex-situ電流印加実験で、明瞭な磁壁移動を観察
- Co/Ni素子のin-situ電流印加実験では、移動未観察。膜構成の最適化が必要
- ex-situでCoFeB素子の磁壁移動観察に成功

▼今後の展開

- 磁壁移動のリアルタイム測定。放射光と同期させたダイナミクス観察
- 実デバイスの磁区観察を行うことで動作検証、誤作動素子の動作解析



ルネサス エレクトロニクス株式会社